

## (293) H形鋼のユニバーサル圧延におけるウェブ・フランジ間のメタルの移動

川崎製鉄(株)技術研究所  
青中川吉左衛門, ○比良隆明  
阿部英夫, 金成昌平

## 1. 緒言

H形鋼のユニバーサル圧延は、その変形機構が複雑であり、板圧延と同じように解析できないので経験技術に多くを依存している。しかしながら、孔形圧延と異なりウェブ、またはフランジに着目して板圧延の理論をユニバーサル圧延に適用しようという試みもある。また幅拡がり、ウェブ・フランジ間のメタルの授受などに実験研究的な検討を加えた報告も多くなられるが、解析的な検討は少ないので、これを明らかにし、プラスティシン実験で確認した。

## 2. ウェブ・フランジ間のメタルの移動

フランジからウェブへのメタルの移行の平均距離を図1のSとし、ウェブとフランジのメタルの長手方向伸びが同一とすると、この条件は(1)式で表わされる。

$$h_{f1} \cdot W_1 \cdot l_1 = (h_{f2} \cdot W_2 + S/2 \cdot h_{w2}) \cdot l_2, h_{w1} \cdot H \cdot l_1 = h_{w2} \cdot (H - S) \cdot l_2 \quad \dots \dots (1)$$

またフランジ圧下率 $r_f$ 、ウェブ圧下率 $r_w$ 、フランジ幅拡がり率 $\beta$ 、入側形状係数 $\eta_1$ 、出側形状係数 $\eta_2$ 、メタル移動率 $r_m$ を(2)式のように定義する。

$$\begin{aligned} r_f &= (h_{f1} - h_{f2})/h_{f1}, \quad r_w = (h_{w1} - h_{w2})/h_{w1}, \quad \beta = (W_2 - W_1)/W_1 \\ \eta_1 &= H \cdot h_{w1}/2W_1 \cdot h_{f1}, \quad \eta_2 = H \cdot h_{w2}/2W_2 \cdot h_{f2}, \quad r_m = S \cdot h_{w2}/H \cdot h_{w1} \end{aligned} \quad \dots \dots (2)$$

(1), (2)式より(3)式を得る。

$$\begin{aligned} r_m &= (r_f - r_w)/(1 + \eta_1) - \beta(1 - r_f)/(1 + \eta_1) \\ S/H &= (\eta_2 - \eta_1)/(1 + \eta_1) \cdot \eta_2 \end{aligned} \quad \dots \dots (3)$$

(3)式より、メタルの移動は、フランジ圧下率とウェブ圧下率の差には比例すること、またその勾配は入側形状係数に支配され、これが小さいものは勾配が大きいこと、入側と出側の形状係数が同一ならばメタルの移動はないことなどが示される。

## 3. 実験条件と結果

実験条件は以下に示すとおりである。

素材: プラスティシン

圧延機: 1/4モデルユニバーサル圧延機

圧下率:  $r_f, r_w$  を  $0 \sim 0.3$  で適宜変化。

圧延サイズ: H300×300, 300×200,  
300×100 の3シリーズとした。

図2はメタル移動率 $r_m$ を $r_f - r_w$ で整理したものと示す。実線は各点より最小二乗法で求めた直線であり、破線は(3)式において $\beta$ を零にしたときの理論値である。つまり実線と破線の差は、 $\beta$ に起因する差である。(かしながら $r_f - r_w$ の小さい領域では幅拡がりも小さく、勾配も $1/(1 + \eta_1)$ に近づく。したがって一般的の圧延条件では、 $r_f - r_w$ はせいぜい 5%程度であるので、このような領域でのメタルの移動量は、初期形状係数 $\eta_1$ で予測することが可能となる。また(3)式より $r_f = r_w$ 時は、 $\beta$ の正負でメタルの移動方向( $r_m$ の正負)が決定する。

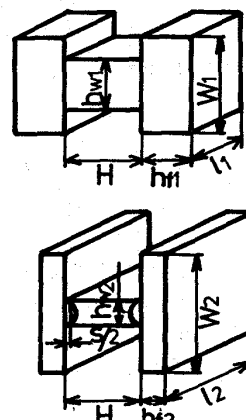


図1. H形モデル  
(上:圧延前, 下:圧延後)

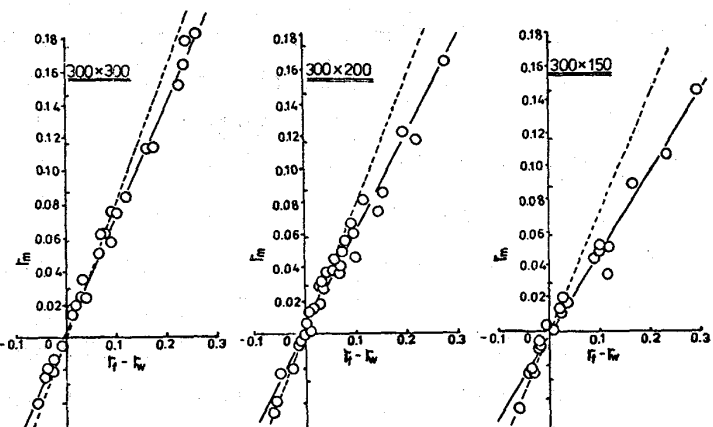


図2. メタル移動率に及ぼすウェブ・フランジの圧下条件  
(プラスティシン実験結果)